

Возможности импульсного воздействия на призабойную зону

ИДГ РАН

ИХФ РАН

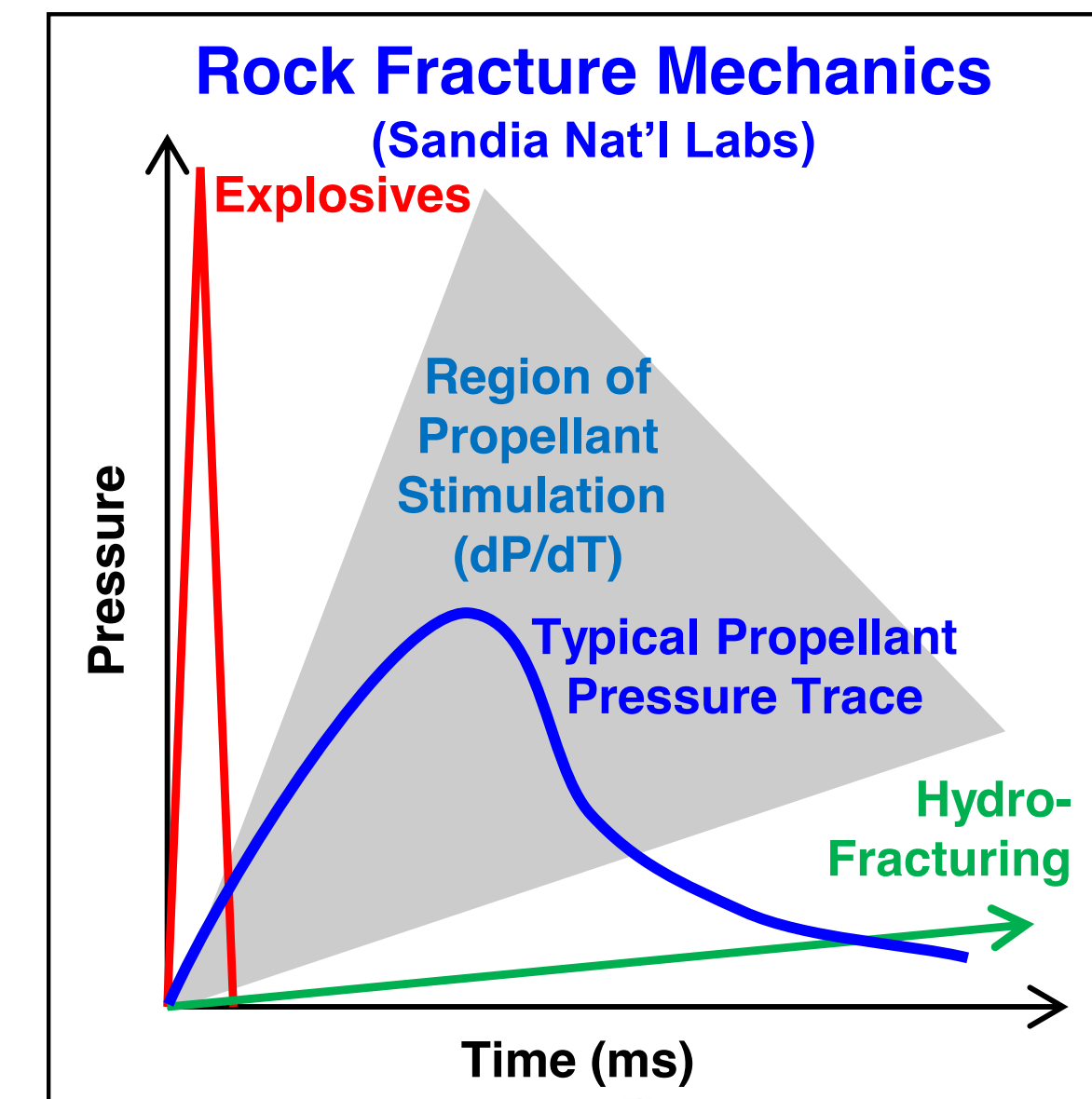
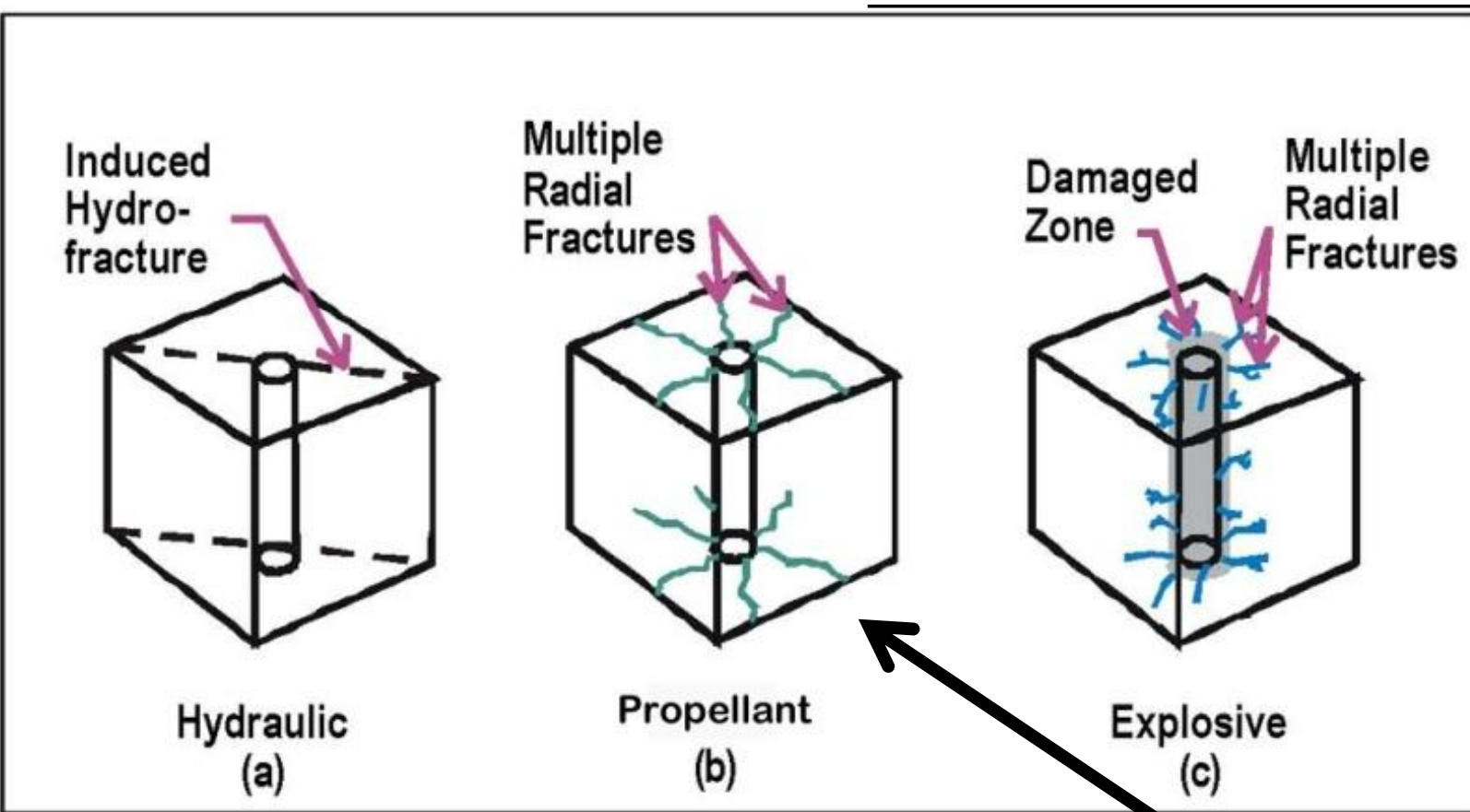
С. Б. Турунтаев



Содержание

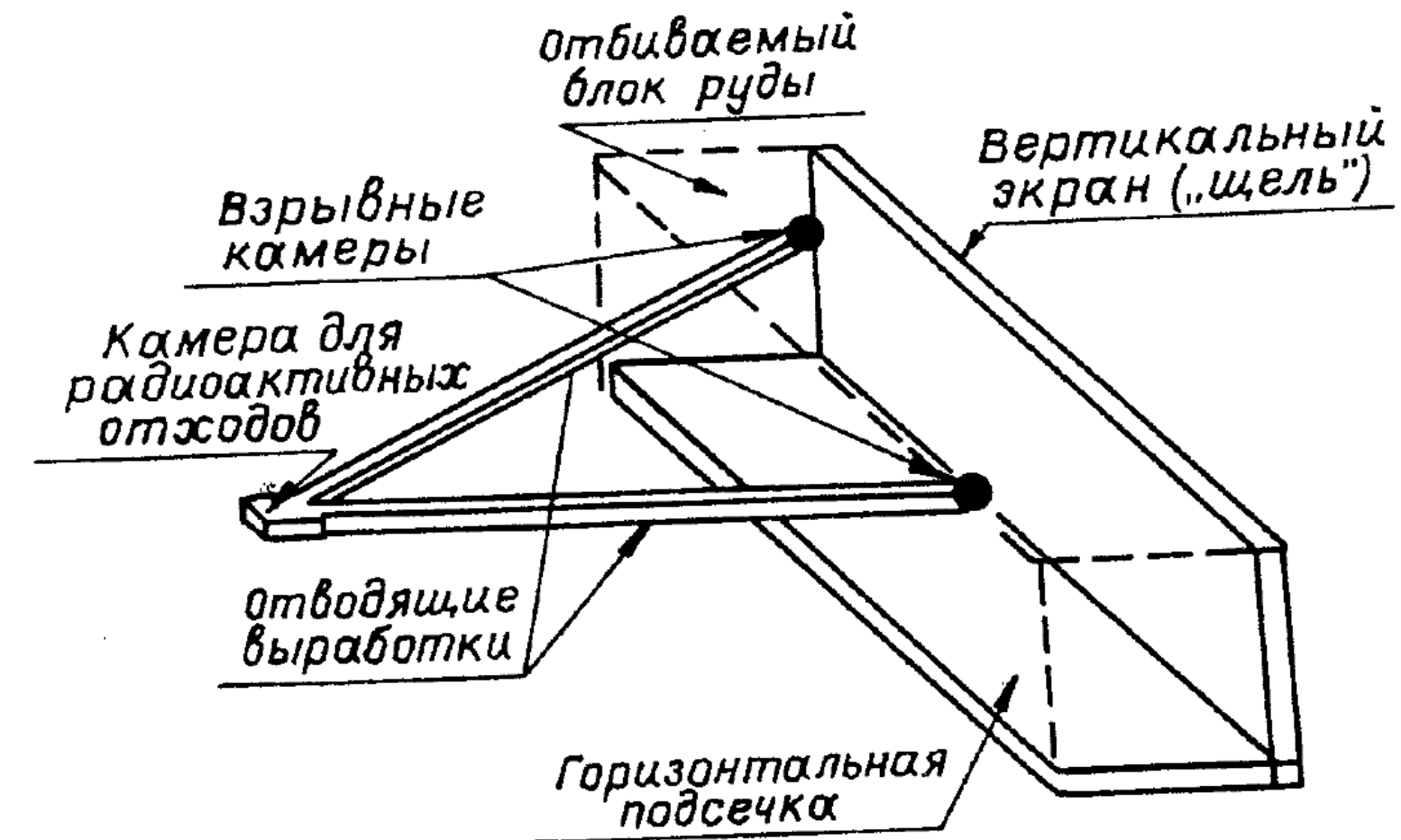
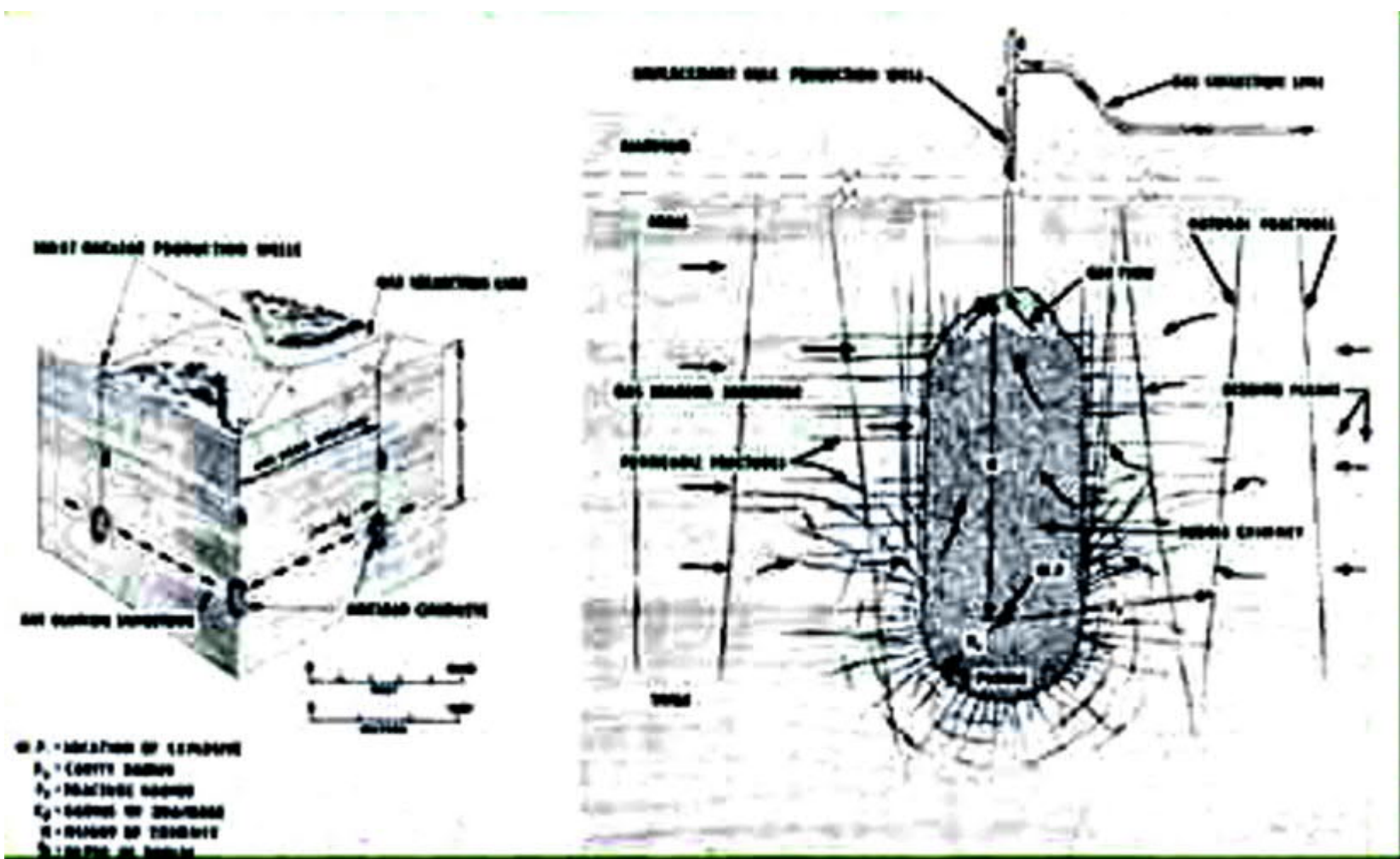
- Немного истории
- Возможности разрушения породы взрывом
- Разрушение импульсным воздействием (быстрое горение)
- Создание инициатора
- Заключение

Возможности разрушения разными методами воздействия



Использование ВВ для разрушения породы на большой глубине

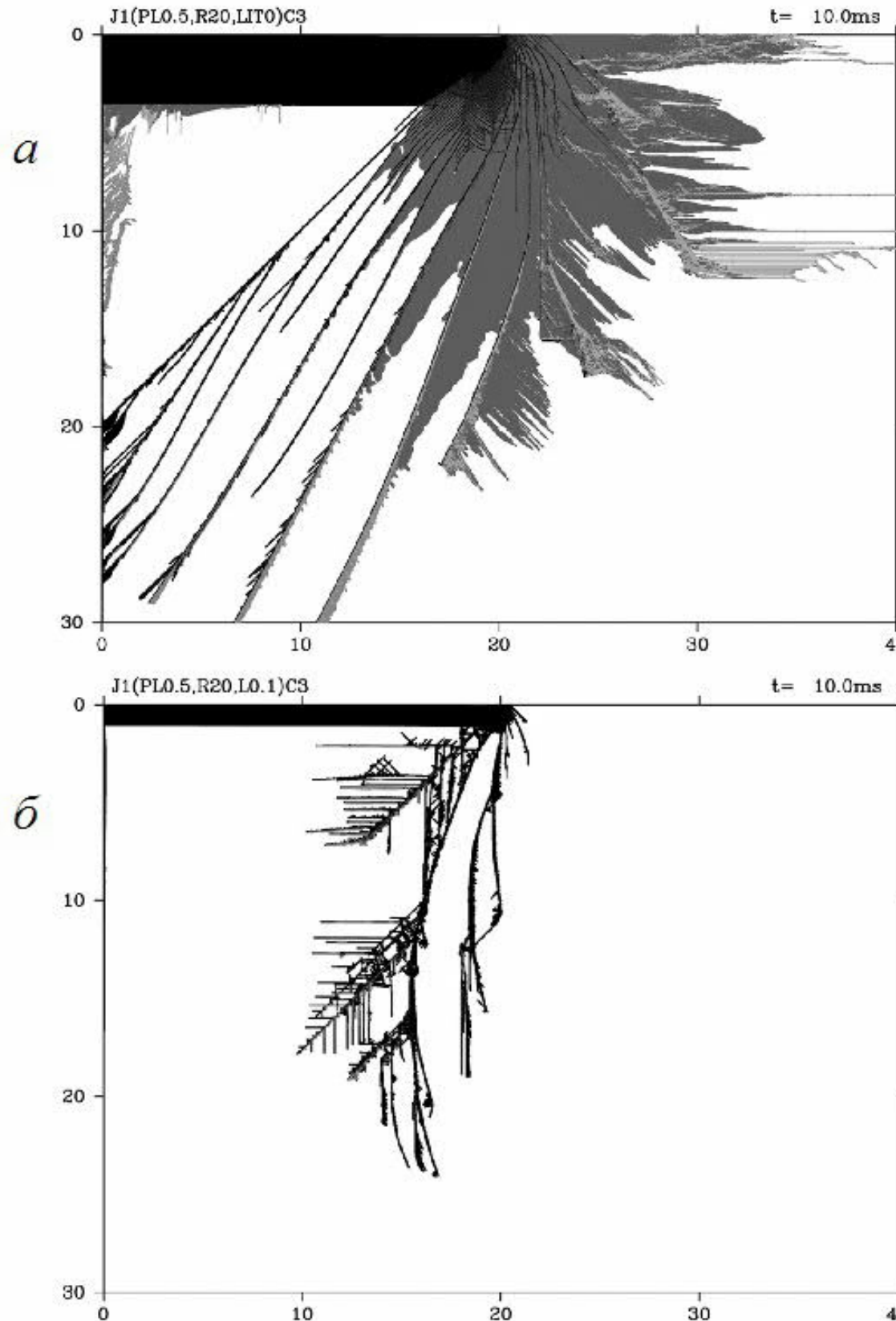
Опыт использования крупномасштабных ВВ



США: эксперименты по стимулированию поступления нефти в СССР
GASBUGGY; RULISON; RIO BLANCO

Грачи -1,2,3 – эксперименты по стимулировании поступления нефти в СССР

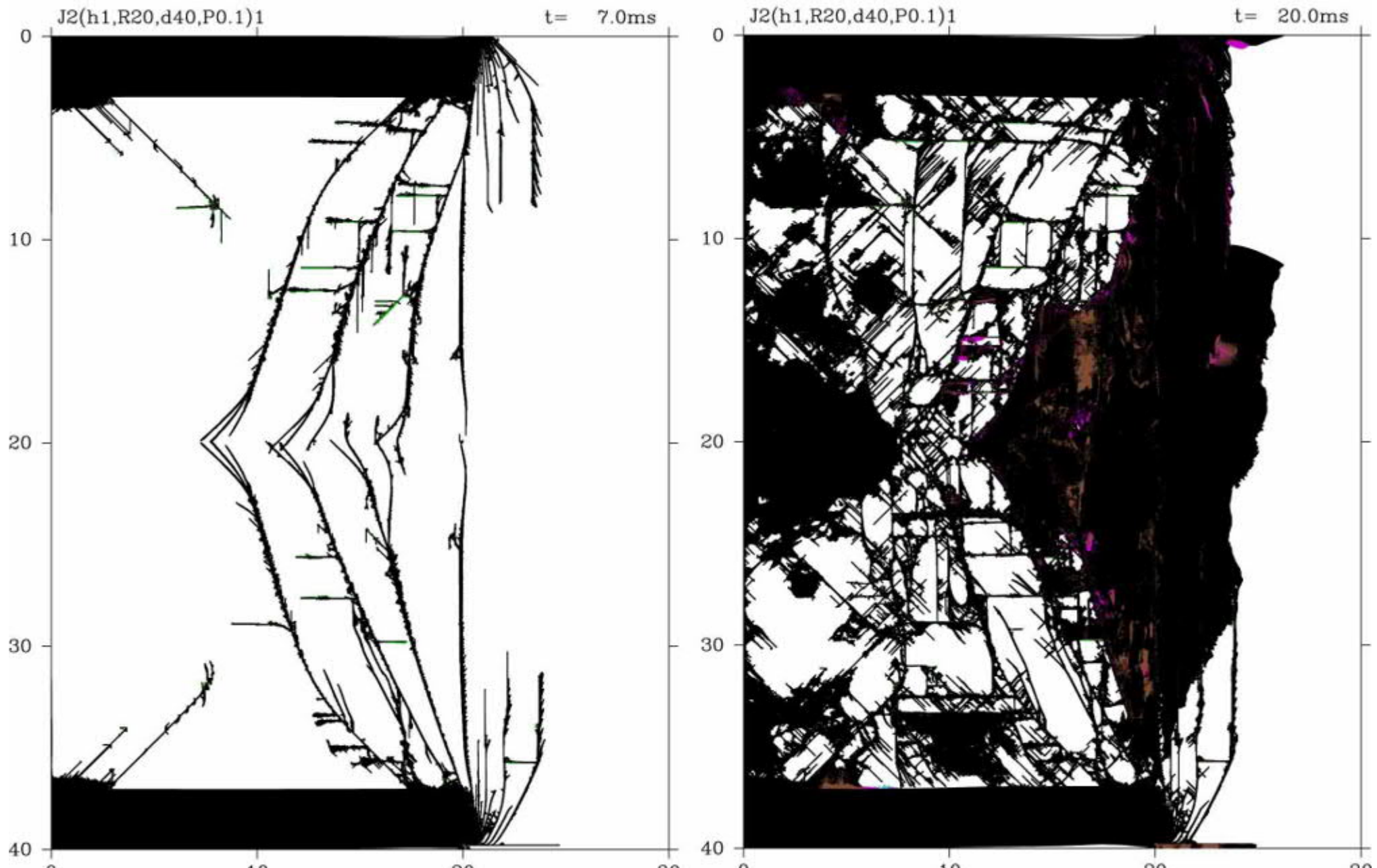
Днепр -1 ; Днепр – 2 – разрушение породы на месторождении твердых полезных ископаемых



Влияние горного давления

а - $\sigma = 6$ - $\sigma = 100 \text{ MPa}$

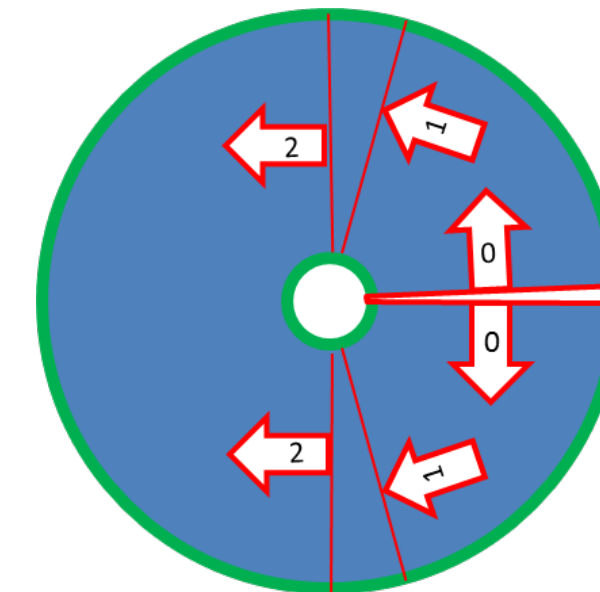
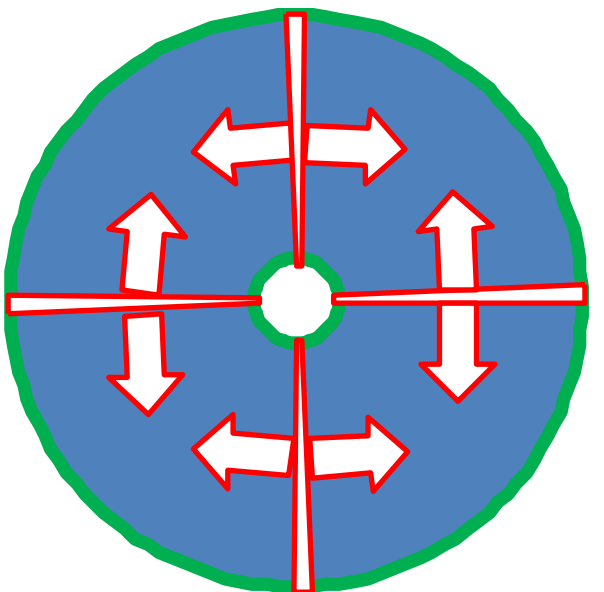
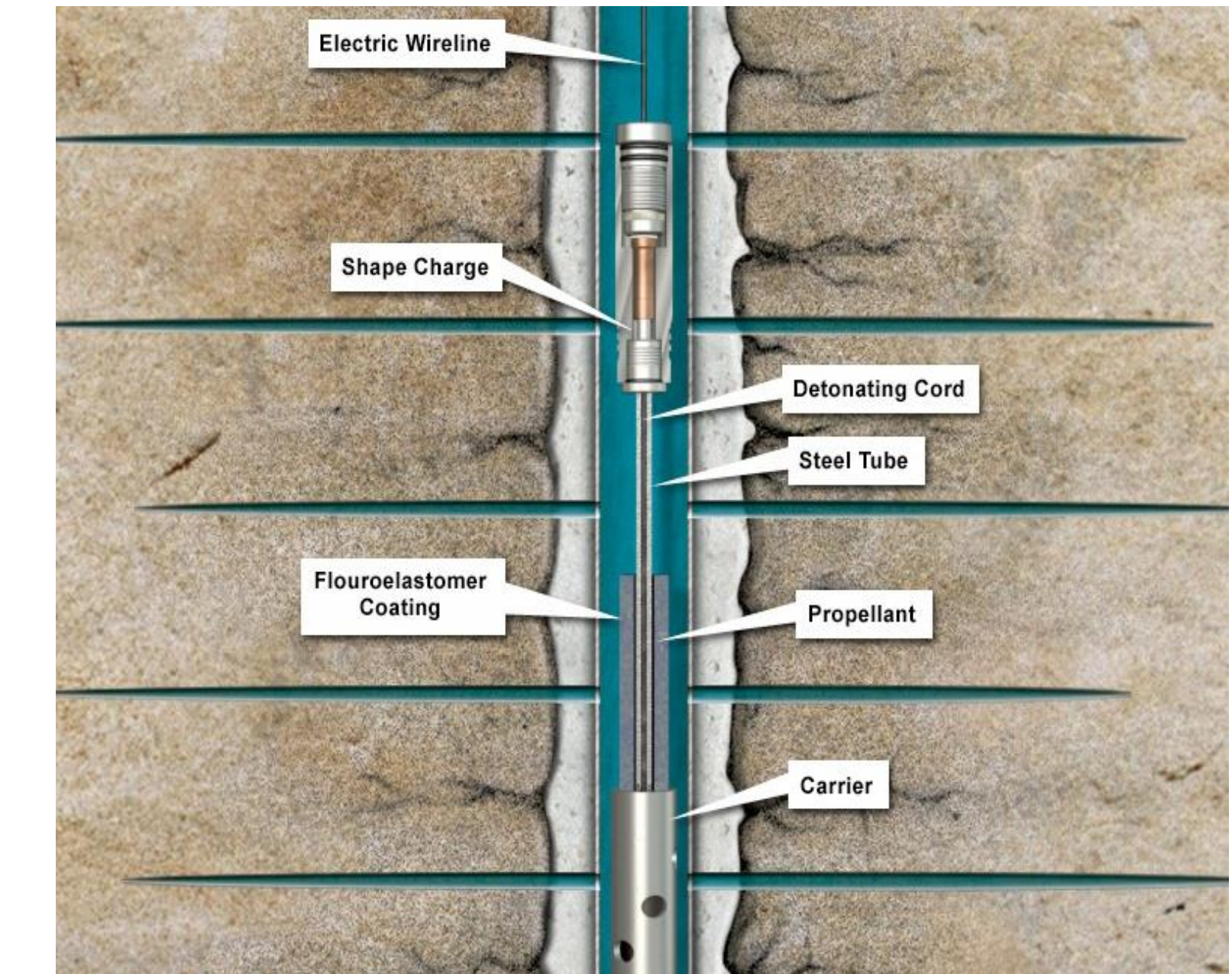
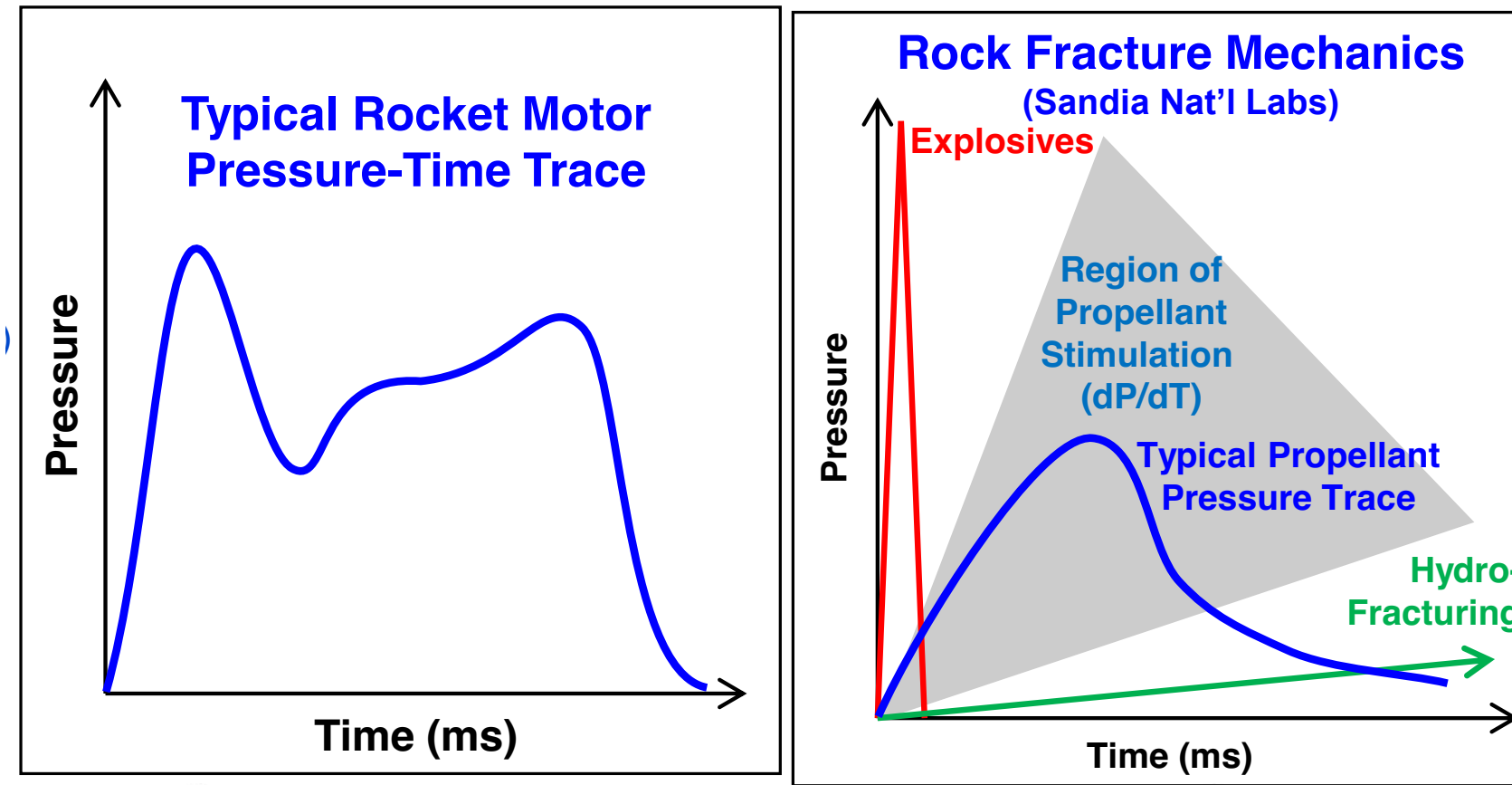
Расчеты зон разрушения при взрывах в трещинах



Два синхронных взрыва в соседних трещинах

слева $t=7 \text{ ms}$; справа $t=20 \text{ мс}$

Быстрое горение



Твердое ракетное топливо

Скорость горения при 340 atm

$$R_b = 12.7\text{-}51 \text{ mm/sec}$$

Температура горения

$$1650\text{-}3300^\circ\text{C}$$

Расчеты проведены с использованием двумерной осесимметричной явной частично-трехслойной произвольной эйлерово-лагранжевой методики с учетом переноса энергии излучением в одногрупповом параболическом диффузационном приближении.

$$\frac{\partial \rho}{\partial t} \square \operatorname{div}(\rho \mathbf{u}) \square \operatorname{div}(\nu_t \operatorname{grad} \rho),$$

$$\frac{\partial(\rho \mathbf{u})}{\partial t} + \operatorname{div}(\rho \mathbf{u} \otimes \mathbf{u}) = -\operatorname{grad} p^* + 2 \operatorname{div}(\mu D) + \operatorname{div}(\nu_t \operatorname{grad} \rho \mathbf{u}),$$

$$\frac{\partial(\rho \varepsilon + \square)}{\partial t} + \operatorname{div}(\rho \varepsilon \mathbf{u} + \square \square) = -\square^* \operatorname{div} \mathbf{u} + 2\mu D^2 + \mu_t (\nabla \mathbf{u})^2 + \operatorname{div}(\nu_t \operatorname{grad} \varepsilon \rho),$$

$$\mathbf{W} \square - \frac{1}{3K} \operatorname{grad} U,$$

$$\frac{1}{c} \frac{\partial U}{\partial t} \square \operatorname{div} \mathbf{W} \square K(U_p - U),$$

$$p^* = p - (\xi + \frac{2}{3} \mu) \operatorname{div} \mathbf{u}$$

$$p \square p(\rho, T), \quad \varepsilon \square \varepsilon(\rho, T) \quad \kappa \square K(\rho, T)$$

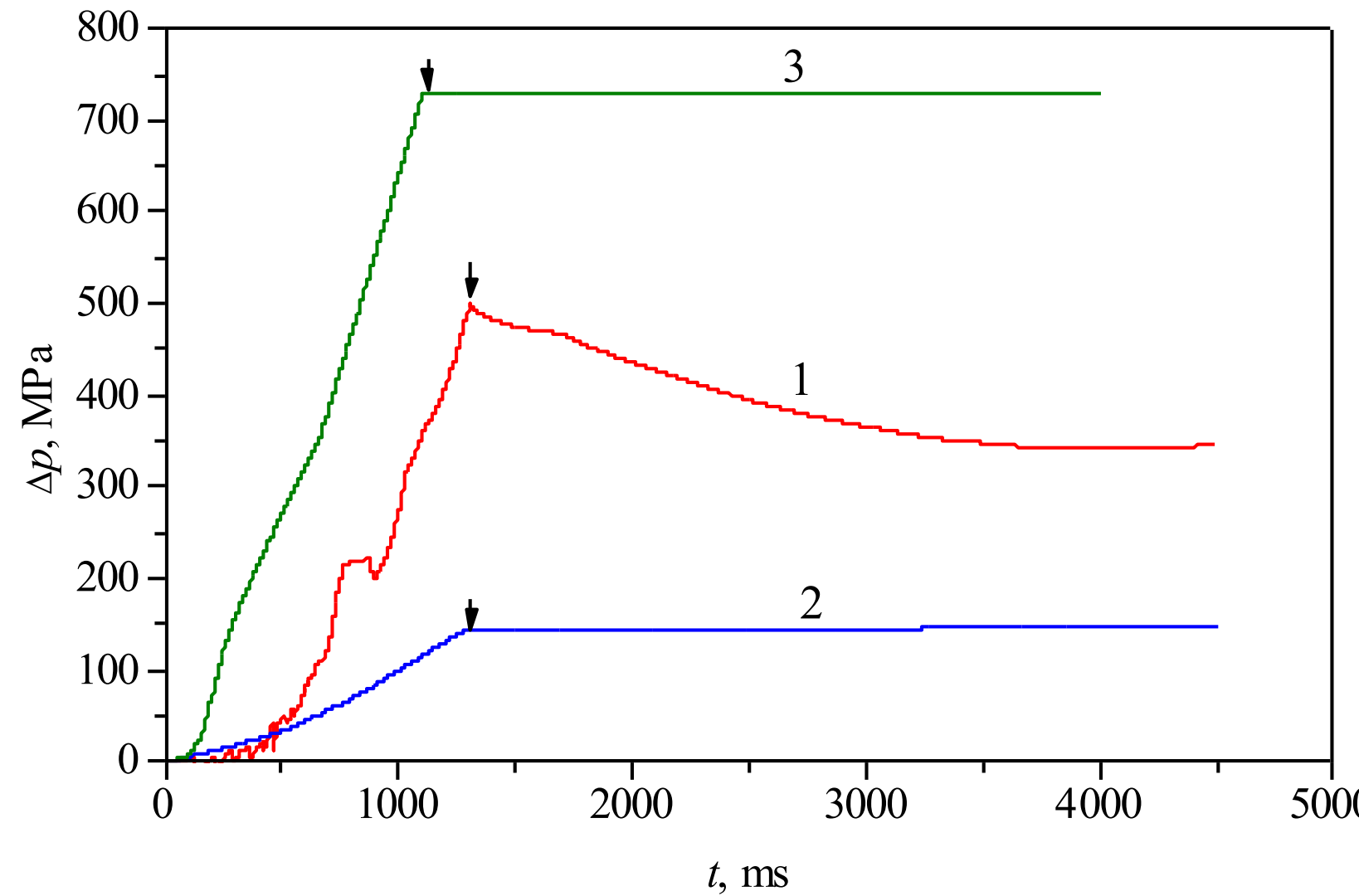
$\mathbf{u} = \{u_r, u_z\}$ – вектор скорости движения вещества, p – давление, ε – удельная внутренняя энергия, D – тензор скоростей деформации, c – скорость света, U – плотность энергии излучения, U_p – плотность энергии равновесного излучения, K – коэффициент поглощения излучения, $-$ – поток излучения, отнесённый к скорости света, ρ , T – плотность и температура вещества, ξ , μ – коэффициенты вязкости, μ_t – коэффициент турбулентной вязкости.

РАСЧЕТ ИМПУЛЬСА ДАВЛЕНИЯ

Заряд ТРТ между двумя бесконечно жесткими пакерами

Давление

Температура

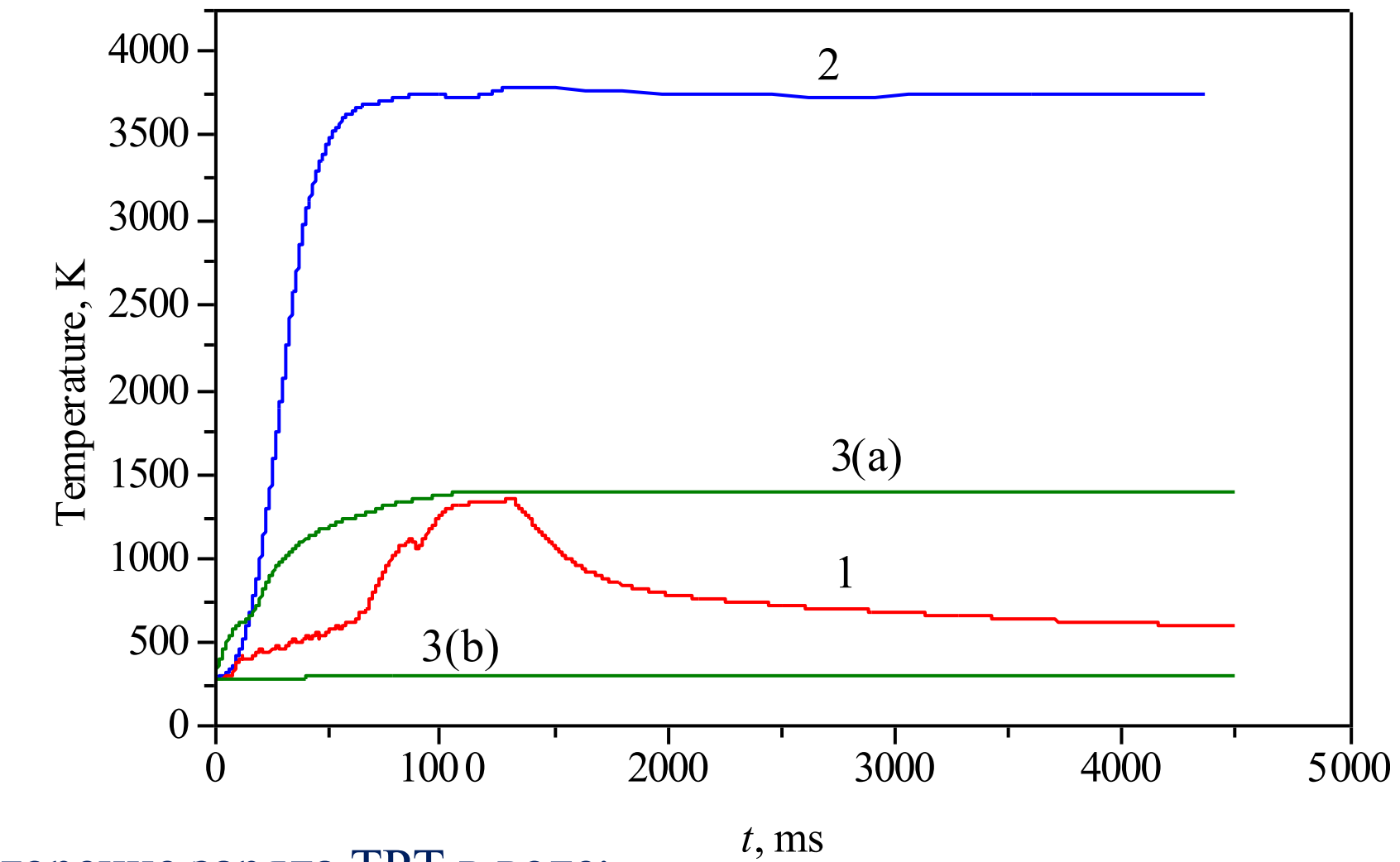


1 – горение заряда ТРТ в воде;

2 – горение заряда ТРТ в воздухе;

3 – горение заряда ТРТ в воде.

(Расчет без учета затрат энергии на нагрев и испарение воды)



1 – горение заряда ТРТ в воде;

2 – горение заряда ТРТ в воздухе;

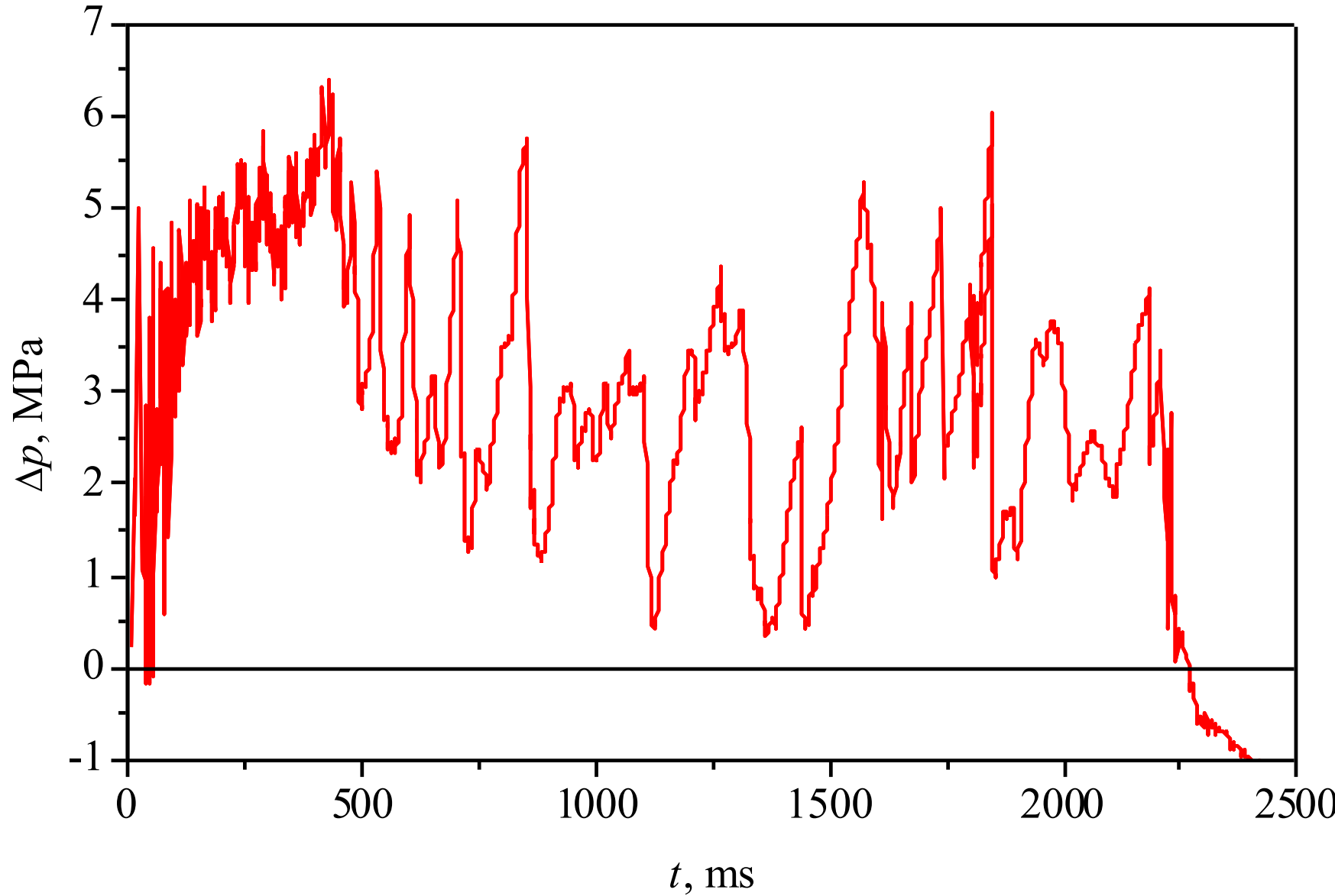
3 – горение заряда ТРТ в воде. Расчет без учета затрат энергии на нагрев и испарение воды.

3(a) – температура в продуктах горения;

3(b) – температура в воде.

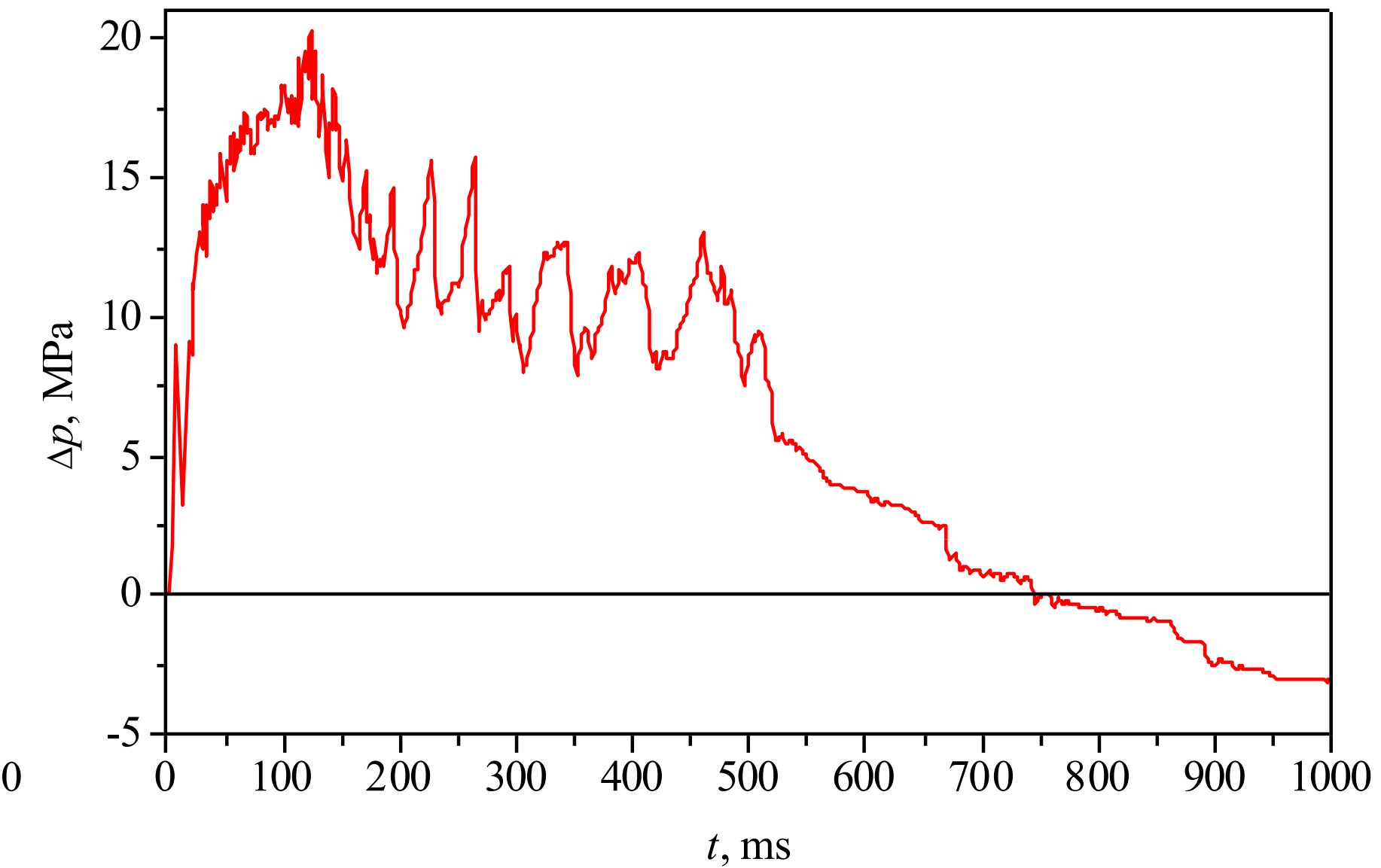
ГОРЕНИЕ ЗАРЯДА ТРТ в ЗАПОЛНЕННОЙ ВОДОЙ СКВАЖИНЕ БЕЗ ПАКЕРОВ

Избыточное давление



Скорость горения меньше

Избыточное давление



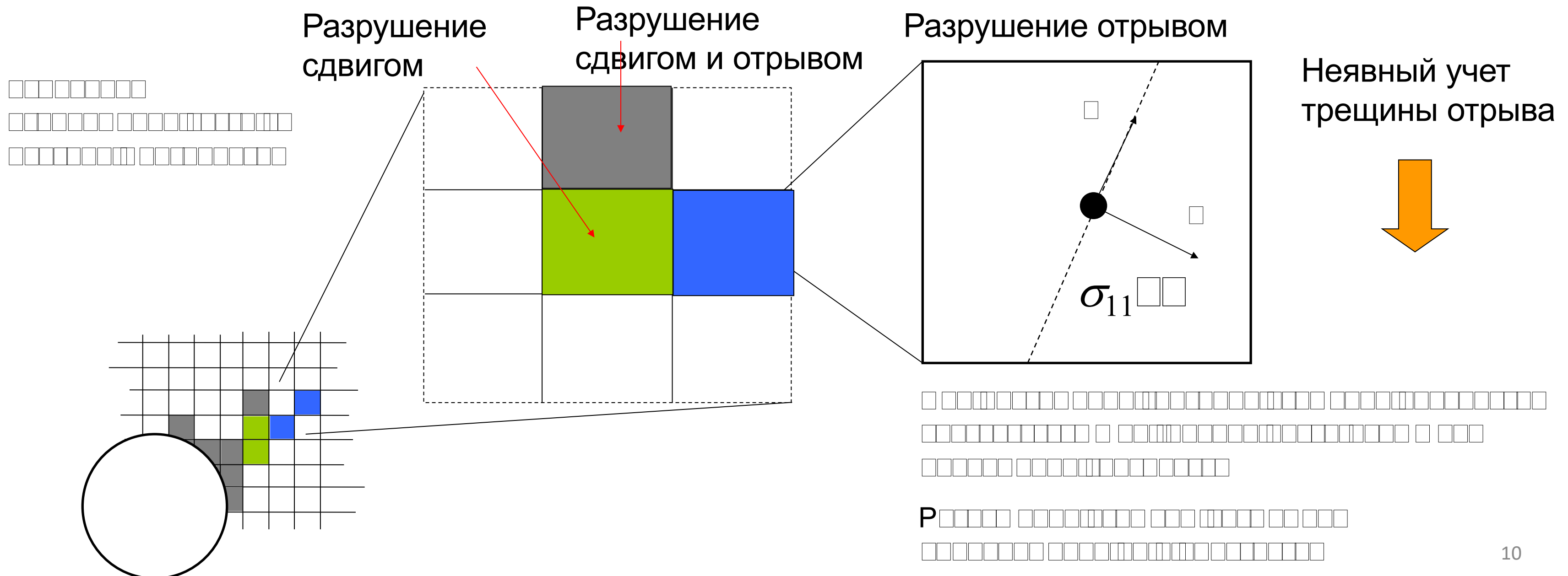
Скорость горения больше

Расчеты проведены с использованием двумерной вычислительной программы, разработанной на основе численного метода с использованием лагранжевых сеток

При достижении критерия разрушения в ячейке,

она считается разрушенной и меняет свойства

Каждая ячейка может быть разрушена как сдвигом так и отрывом одновременно

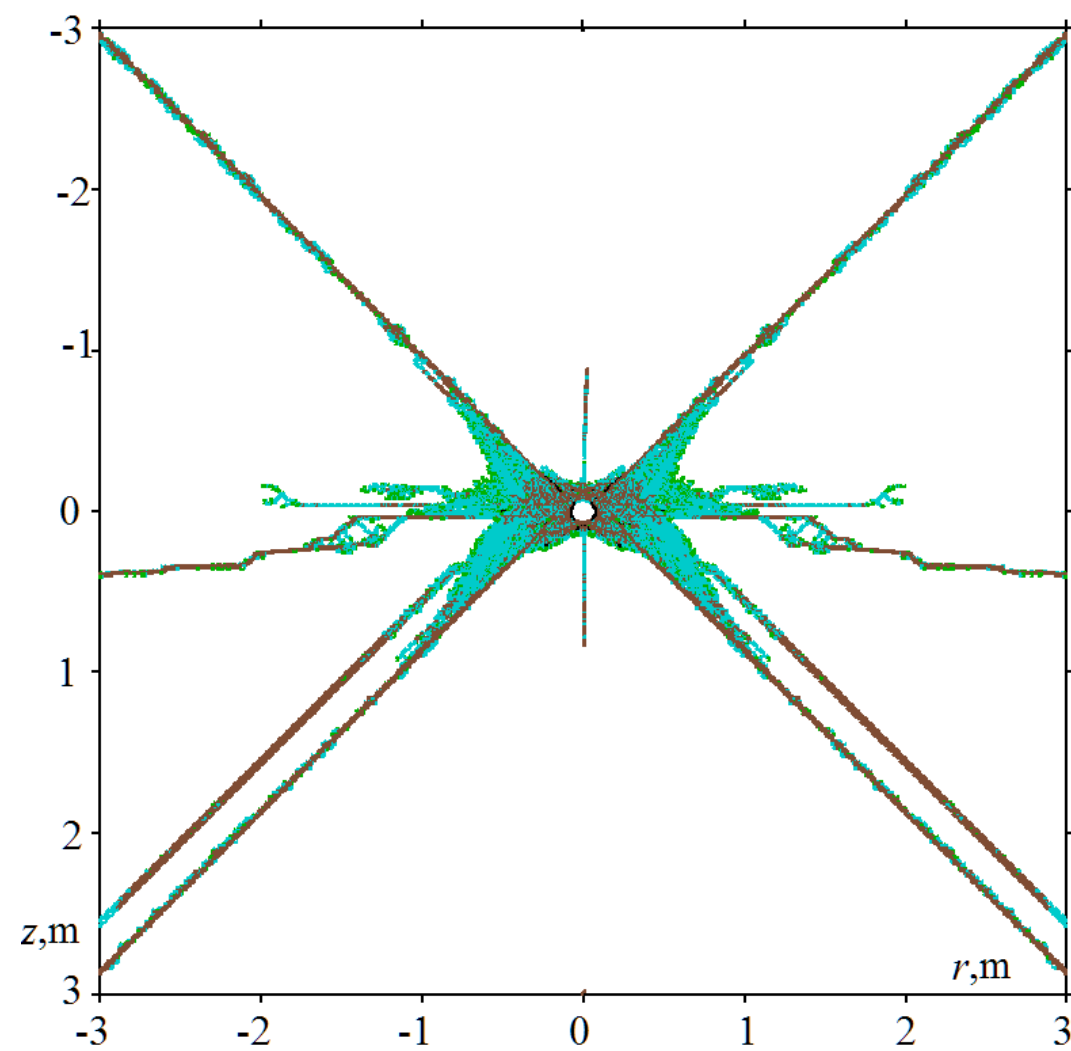


P██████ ████████ ████████ ████████ ████████

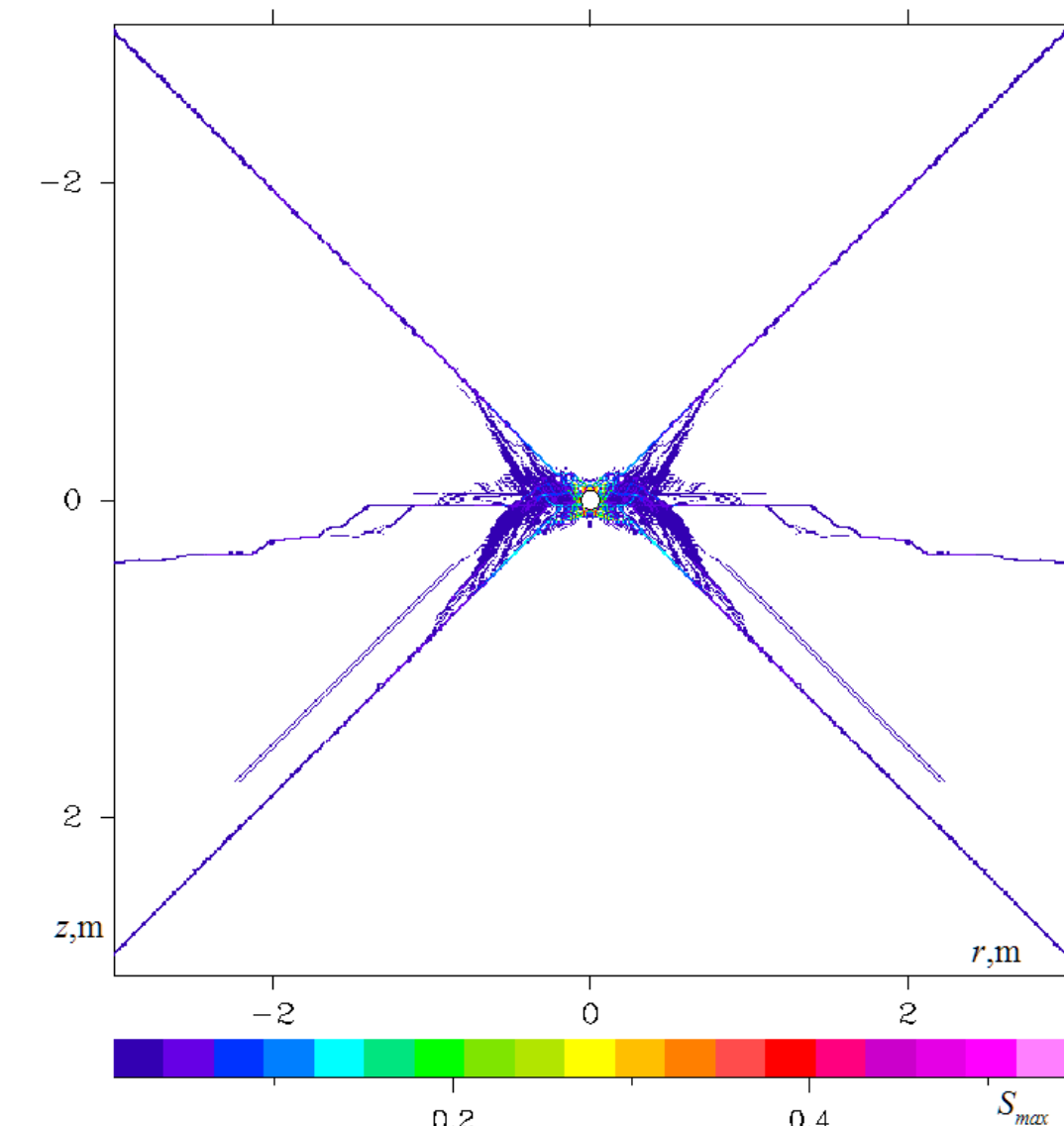
███████ ████████ ████████ ████████ ████████

РЕЗУЛЬТАТЫ ТЕСТОВОГО РАСЧЕТА

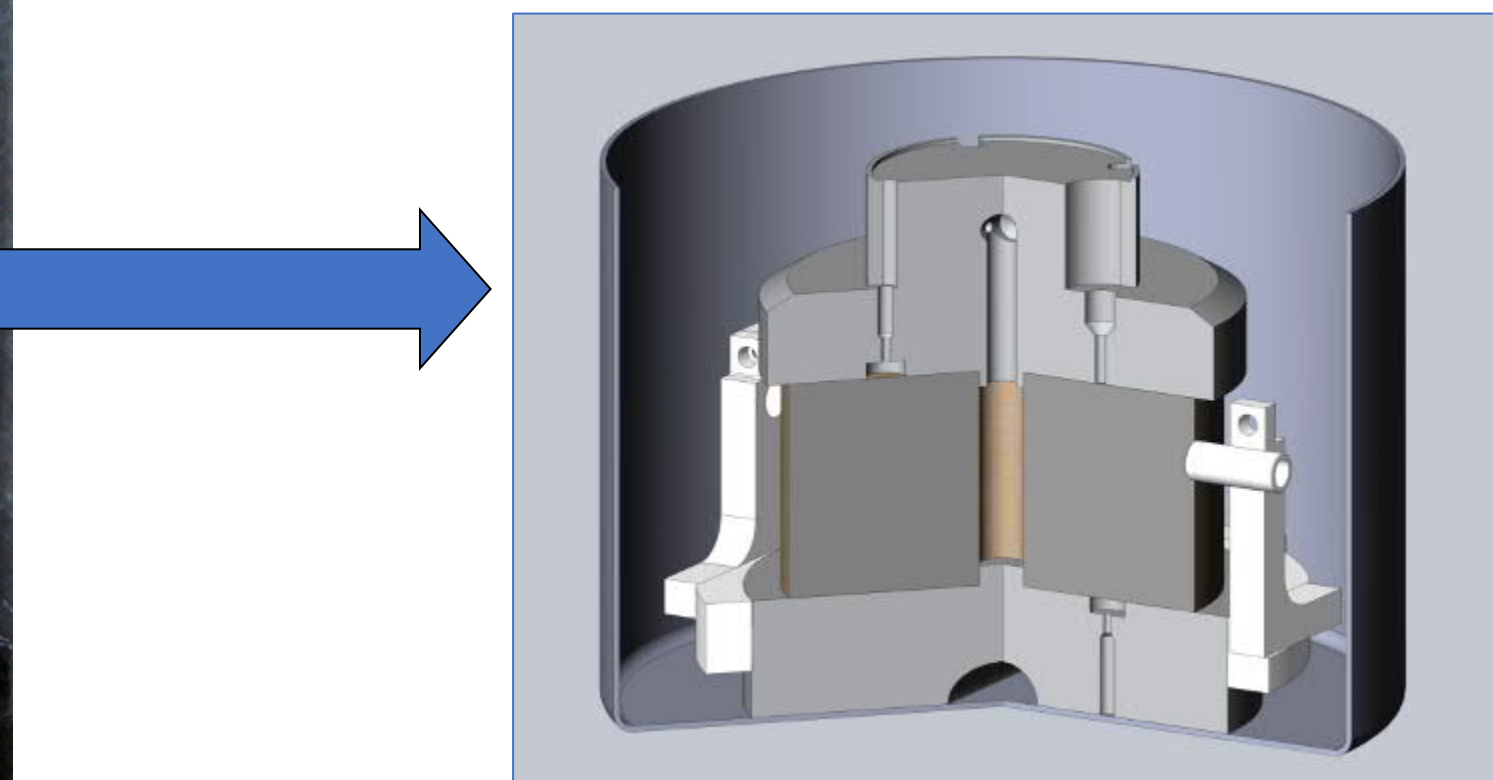
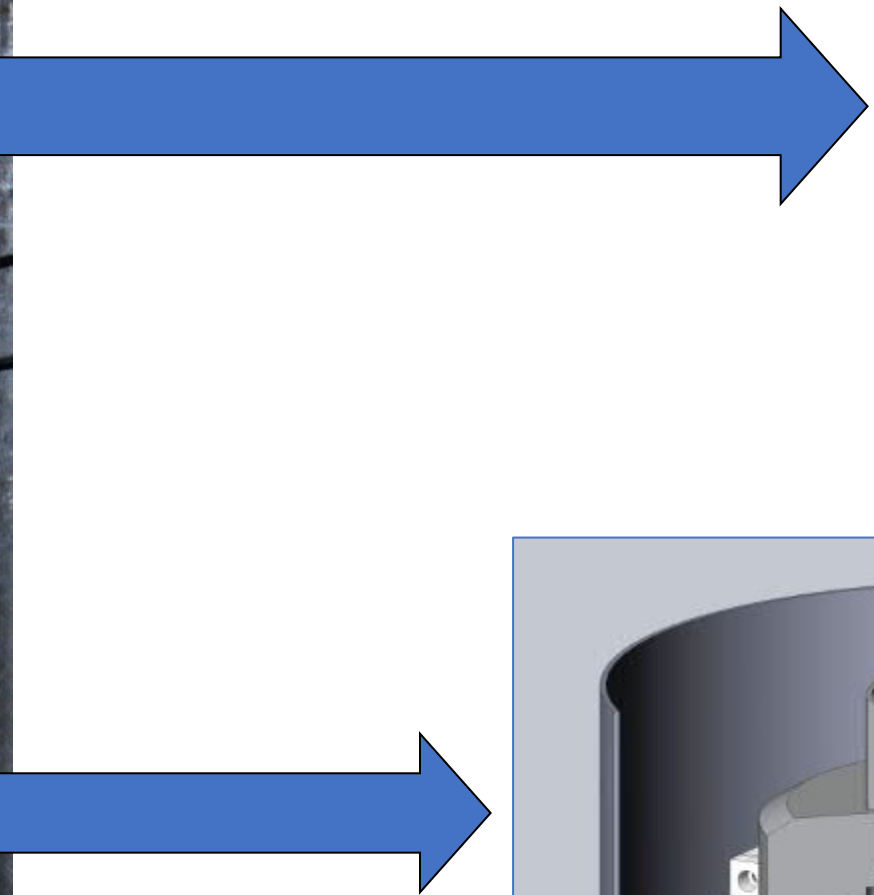
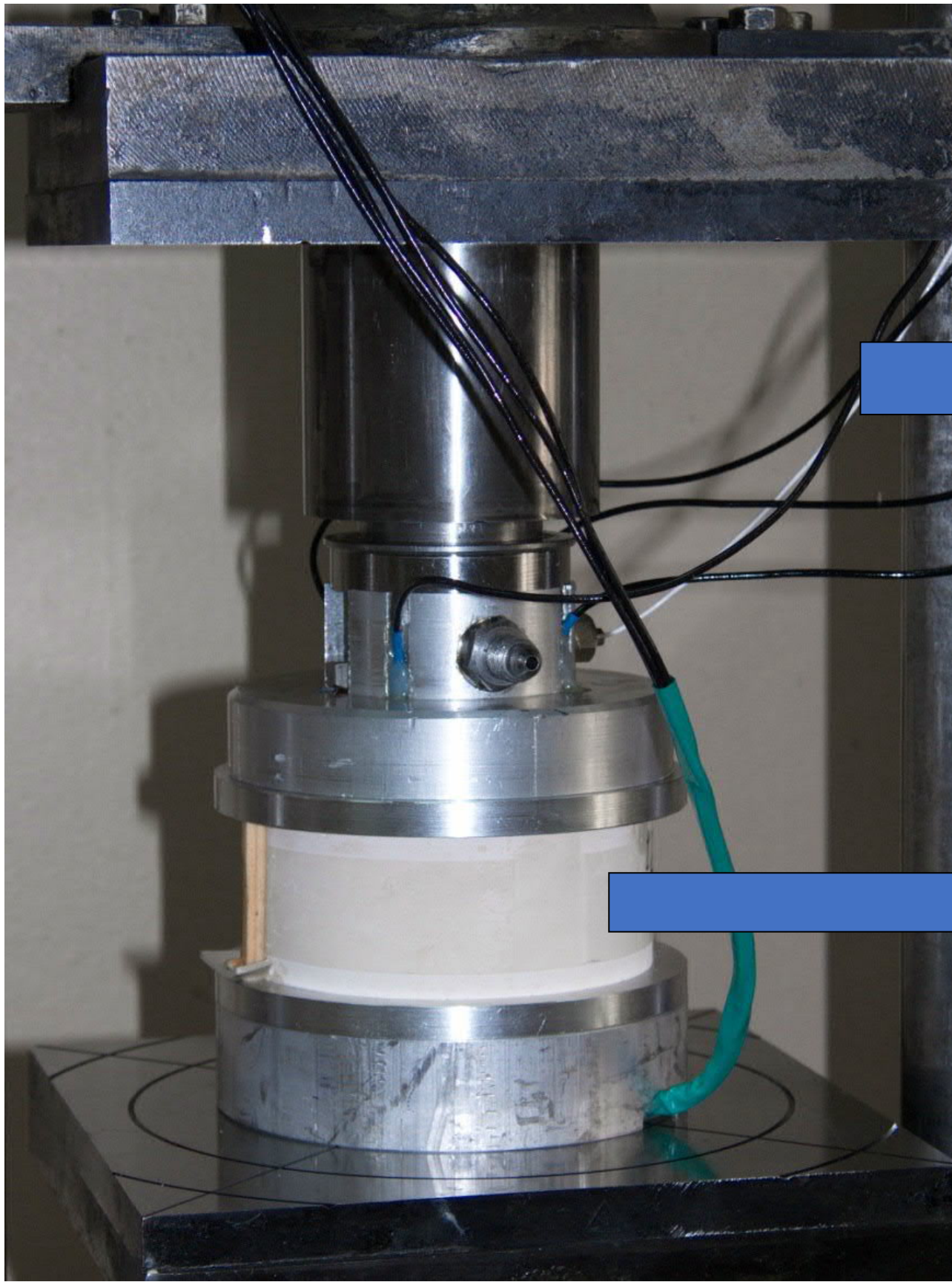
Фрагмент зоны разрушения пласта в окрестности скважины в момент времени $t=14$ мс (цвет ячеек означает способ разрушения в ячейках)

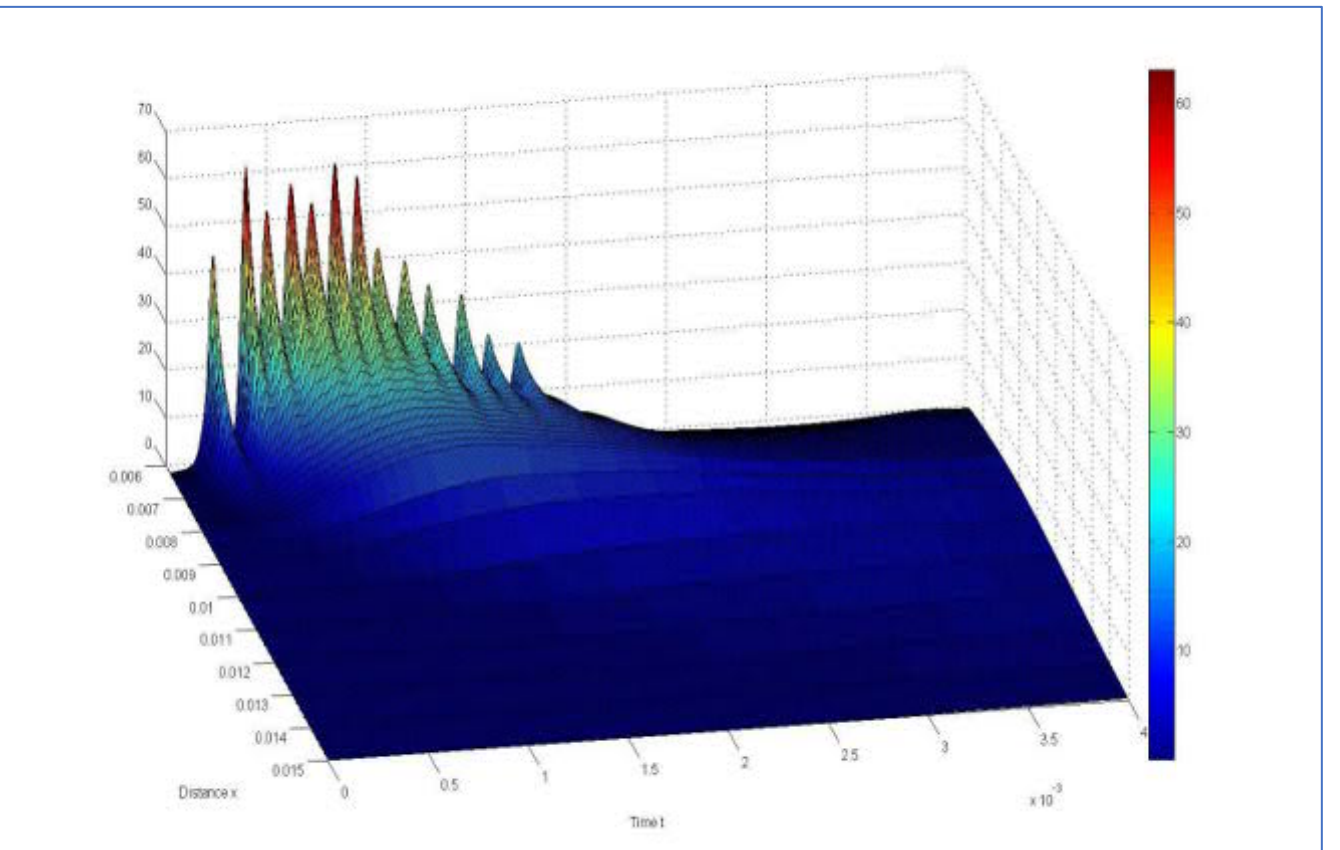
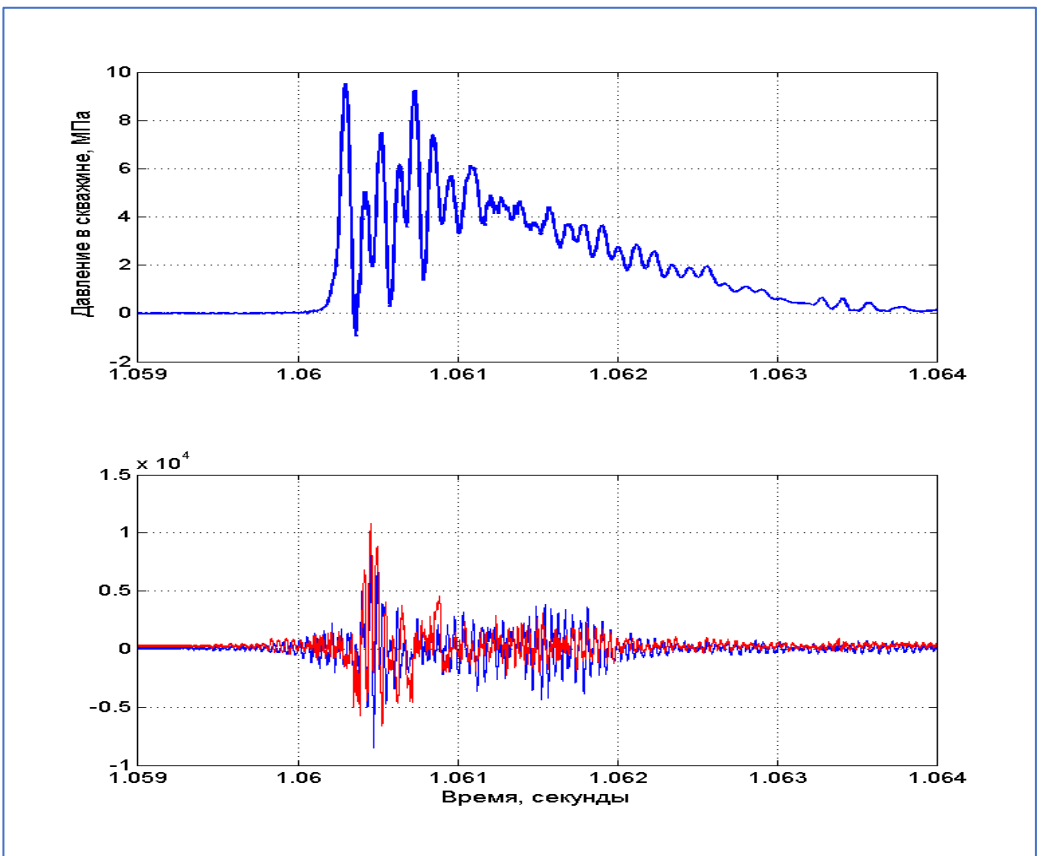


Пространственное распределение максимальных значений интенсивности деформации сдвига в окрестности скважины (в поврежденных ячейках)



Лабораторное моделирование импульсного ГРП





Трещина возникает при амплитуде
импульса 6-10 МПа



Заключение

- Импульсное воздействие на призабойную зону пласта приводит к разрушению породы, пространственные размеры возникающих трещин зависят от амплитуд и длительности импульсов.
- Вопросы подбора ВВ или ТРТ требуют проведения численных и лабораторных экспериментов с дальнейшей верификацией в полевых условиях на полигонах.
- Вопросы инициирования ВВ или создания той или иной формы импульса при горении ТРТ решаемы.
- Принятие решения о применении импульсного воздействия необходимо принимать на основе предварительных расчетов.

спасибо за внимание!